

# I - 17 弾塑性挙りの補足エネルギーに対する実用式

九州大学工学部 正員 山崎徳也  
〃 学生員 太田俊昭

**I 緒言** 一様断面の棒の弾塑性挙り挙動を挙りの応力函数を用いて把握し、さらには塑性領域における挙りモーメントの非線形要素を、補足エネルギー法とともに線型化することに成功した。この結果、棒に与えられる挙りの補足エネルギーは、弹性のそれと同じく、挙りモーメントの2次函数で与えられ、また挙りと伴う弾塑性解析の分野において、在来のエネルギー法に準じて多岐にわたる応用が可能となる。ここではまず矩形断面に対する応力函数を求める、挙りモーメントと挙り角との関係式を説明し、ついで補足エネルギーの算出を試みた。後述の考察は従来の任意の断面に対し、挙りの応力函数や求められた補足エネルギーは、断面の形状の要素を含む  $K_1$  で容易に一般表示出来、本来エネルギー法のもつ一般性をそのまま踏襲するものである。著者等は、別に円形断面に対しても上述の考察を行ったが、それについての詳細は該断面が都合上省略する。

**II 理論の説明** 一様断面の直角座標を図-1のとく設定する。この棒が  $X$  軸のまわりに下記挙りモーメントで挙りられ、単位長さ当たり  $w$  の挙り角を生じたとする。平衡条件式は  $\frac{\partial \tau_{xy}}{\partial y} + \frac{\partial \tau_{xz}}{\partial z} = 0 \quad \dots \dots \quad (1)$  棒の断面の外向き法線の方向余弦をそれぞれ  $\tau_{yx}$ ,  $\tau_{zx}$  とすれば、境界条件は  $\tau_{yx}m + \tau_{zx}n = 0 \quad \dots \dots \quad (2)$

(1)式を満足する応力函数  $\chi$  を考えれば  $\tau_{yx} = \frac{\partial \chi}{\partial z}, \tau_{zx} = -\frac{\partial \chi}{\partial y}$  と与えられる。断面の周に沿って  $ds$  を取れば  $m = \frac{dz}{ds}, n = -\frac{dy}{ds}$

(2)式に代入して  $\frac{d\chi}{ds} = 0$  をえ、これより周上では  $\chi = \chi_0$  ( $=$  定) なることを知る。次に挙りモーメント  $T$  は  $T = \int \left[ (\tau_{xz} - \tau_{yx}) dy dz \right]$  と与えられ、これを Green 函数を用いて変形すれば  $T = 2 \int \chi dy dz + (-2\chi_0) F$ 。 $\chi \neq 0$  とすれば結局式から  $F = 0$  である。  $T = 2 \int \chi dy dz \quad \dots \dots \quad (3)$

一方せん断ひずみ  $\gamma_{xy}$ ,  $\gamma_{xz}$  は  $\gamma_{xy} = \frac{\partial \chi}{\partial y} - w z, \gamma_{xz} = \frac{\partial \chi}{\partial z} + w y$  として応力函数を置き換え。上記(1)式をえて、(2)式を  $y$  で偏微分して計算の上変形すれば  $\frac{\partial^2 \chi}{\partial z^2} + \frac{\partial^2 \chi}{\partial y^2} - 2wG = 0 \quad \dots \dots \quad (4)$  となる。(4)式は一般な単位張力で張られた石膏膜に上向きの圧力  $2wG$  を受けたときの膜のたわみが満足条件式に該当し、 $\chi$  はかかる限り求められる。短辺  $b$ 、長辺  $a$  の矩形断面を例として  $\chi$  を求めれば次のようである。

(i) 弹性領域:  $\chi = wG \left( \frac{a^2}{4} - y^2 \right) - \chi_0 \quad \dots \dots \quad (5)$  とすれば、 $y = \pm \frac{a}{2}$  时  $\chi = 0; z = \pm \frac{b}{2}$  时  $\chi = wG \left( \frac{a^2}{4} - y^2 \right)$

なる境界条件と  $\frac{\partial^2 \chi_0}{\partial y^2} + \frac{\partial^2 \chi_0}{\partial z^2} = 0$  と平衡条件式から次のとく求められる。 $\chi_0 = \sum C_n \cos (2n\pi y/a) \sinh (2n\pi z/b)$

すなはち  $C_n = (-1)^n 8 a^n wG / \pi^2 (1+2R)^2 \cosh (2n\pi b/a), a/b \ll 1$  の細長い矩形の場合には  $\chi_0$  は  $\chi = wG \left( \frac{a^2}{4} - y^2 \right)$  となる。

(ii) 弹塑性領域: 一様断面の棒が挙りられた結果、断面の一部において応力が弾性限界を越え、塑性領域が生じて仮定する。

塑性領域において、ミセスの降伏条件<sup>2)</sup>を考えれば  $\sqrt{\tau_{yy}^2 + \tau_{zz}^2} = f_c \left( -\frac{y}{\sqrt{2}} \right) \quad \dots \dots \quad (6)$  塑性時の  $\chi$  を

弾性の場合と同様  $\tau_{yy} = \frac{\partial \chi}{\partial z}, \tau_{zz} = -\frac{\partial \chi}{\partial y}$  とおけば、 $f_c$  は以下のように変形される。

$$\{(\partial \chi / \partial y)^2 + (\partial \chi / \partial z)^2\}^{1/2} = |grad \chi| - Max |\partial \chi / \partial z| = f_c \quad \text{ここで } f_c \text{ は任意の方向を主軸である。}$$

すなはち 降伏状態における所では、 $\chi$  を任意の方向に微分したときの最大値が、常に一定値をもつ。上述の結果を前記簡単理論に適用すれば、 $a \times b$  矩形断面では 図-2 のとく剛な屋根を設置し、棒が  $2wG$  を受けてたわみ、その一部が屋根に接した状態を考へ、接觸部分が塑性領域を、それから離れた部分が弾性領域を示すこととなる。その経過は 図-3 に示されるが、ここで論ずるのは (2) の弾塑性であり、次のとく考察する。応力函数は短辺の近傍を除いて近似的につかうと求められる。すなはち  $1/4 \leq (b-a)/2$  (図-4 参照) で

$$\text{弾性領域 } (1/4 \leq y_0) \cdots \chi_0 = wG \left( (a^2/4 - y_0^2) + C_0 \right) \quad \dots \dots \quad (7)$$

$$\text{塑性領域 } (y_0 \leq 1/4 \leq a/2) \cdots \chi_p = \pm f_c (y - y_0/2) \quad \dots \dots \quad (8)$$

ここで  $y_0, C_0$  は連続条件より それ  $a/2wG, -(a - R/2wG)^2/4$  とす。

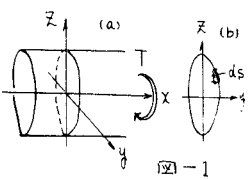


図-1

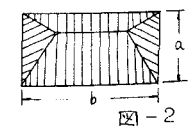
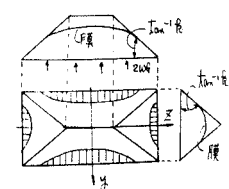


図-2

(3) 式に代入し、この部分についての振り返りモーメント  $T_y$  を算出すれば

$$T_y = (b-a) \left\{ \int_{z_1}^{z_2} z_1 dy + \int_{z_2}^{z_3} z_2 dy \right\} \\ = \frac{b}{2}(b-a)/2 (a^2 - \frac{b^2}{3} w^2 G^2) \quad \dots \dots \dots (9)$$

次に残りの両端部  $(b-a)/2 \leq |z| \leq b/2$  について、 $w=w_0$  で  $T=T_y$  とする。また  $T=T_p$  なる境界条件より

$$T_x = \frac{b}{2} \left\{ A^2/3 - b^2 G^2 (b/a) / (3w^2 G^2) \right\} \quad \dots \dots \dots (10)$$

$$T = T_y + T_x = \frac{b}{2} \left\{ (b-a)/2 (a^2 - \frac{b^2}{3} w^2 G^2) + A^2/3 - b^2 G^2 (b/a) / (3w^2 G^2) \right\} - T_p \{ f - (f-1)(w/w_0)^2 \} \quad \dots \dots \dots (11)$$

$$\therefore g(b/a) = 192a/\pi^2 b \cdot \tan b \pi b/2a, \quad T_p = \frac{b}{2} a^2 \left\{ 1 - g(b/a) \right\}/3, \quad T_p = \frac{b}{2} a^2 (3b-a)/b, \quad f = T_p/T_y$$

上式の精度を、厳密な数値解で検討した結果、 $b/a=2$  における最大誤差は、わずか 5~6% であった。この誤差は  $b/a$  が増すにつれて減少するので、(11) 式は  $b/a \geq 2$  の範囲では充分実用的価値があると考えられる。

次に  $T/T_y$  を、 $w/w_0$  をパラメータとして図示すれば図-5のようになる。一方振り返り補足エネルギーは一般に(7)の

ように定義される。 $dU/ds = \int_0^T w dT \quad \dots \dots \dots (12)$  弹塑性部の非線形要素による難度を排除する目的で、

図-5の A~B 曲線部を AC 直線で置換するが、置換条件としてエネルギー等置<sup>5)</sup>を採用すれば、AC 直線の勾配  $1/K_r$  は以下のよう

決定される。すなわち A~B 曲線上に働く補足エネルギーを  $W_0$ 、AC 直線のそれを  $W_1$  とすれば、それでは

$$W_0 = \int_0^{T_p} w_0 dT + \int_{T_p}^{T_y} w_p dT = T_p^2/2GJ + 3(f-1)T_p^2/2GJ = (3f-2)T_p^2/2GJ$$

$$W_1 = \int_0^{T_p} w_0 dT + \int_{T_p}^{T_y} w_p dT = K_r(T-T_p)^2/2GJ + 2(T-T_p)J/2GJ + T_y^2/2GJ = [(K_r-1)(T-T_p)^2 + T_y^2]/2GJ + (K_r-1)(f-1)^2 + f^2/2GJ$$

$$W_0 = W_1 \quad \therefore (3f-2)T_p^2/2GJ = [(K_r-1)(f-1)^2 + f^2]T_y^2/2GJ \quad \therefore K_r = 1/(f-1) \quad \dots \dots \dots (13)$$

よって AC 直線は  $T/T_p - 1 = 1/K_r (w/w_0 - 1)$  となる。またこの式を用いて弾塑性領域における補足エネルギーを算定すれば次のようになる。

$$dU/ds = \int_0^{T_p} w_0 dT + \int_{T_p}^T w_p dT = [T^2 + K_r(T-T_p)^2]/2GJ \quad \text{或いは}$$

$$U = \int T^2/2GJ ds + \int K_r(T-T_p)^2/2GJ ds \quad \dots \dots \dots (14)$$

$$\therefore G: せん断弾性係数, \quad J = A^2 b (1 - g(\gamma_0))/3, \quad K_r' = K_r - 1$$

**III 結語** Complementary Minimum Principle を用いた、一般に振り角  $\phi$  は  $\phi = dU/dT$  である

とされる。この原理の応用の一例として著者等は弾塑性領域を考慮した振り角式を説明し、円柱のたわみ

角式を併用して立体構造の弾塑性解析を可能とした。一方、振り角式が塑性変形まで移行すれば、当然細長、矩形断面(薄肉断面)の棒においては、曲げ振れの作用が大きい。その影響は無視出来ないものと考えられ、かかる現象も、同じく補足エネルギーで容易に捕えられ、これについては後日発表の予定である。

### (参考文献)

- (1) A. Nada : Theory of Flow and Fracture of Solids, Engineering Societies Monographs Volume II
- (2) P. Hodge and W. Prager : A Variational Principles for Plastic Materials with Strain-hardening, J. Math. Phys. 27, 1948
- (3) H. J. Greenberg : Complementary Minimum Principles for an Elastic-Plastic Material, 21pp., 1948
- (4) B. Rawlings : Energy Relationships in Plastic Steel Structures, Trans. ASCE. Vol. 128, 1963
- (5) 山崎 太田 : 塑性解析に拡張したエネルギー法, 第19回土木学会学術講演会講演概要, 昭和39年5月
- (6) 山崎 石川 : 弾塑性領域を考慮したエネルギー法による直線材のわく角の説明について, 土木学会西部支部 昭和39年2月
- (7) 山崎 太田, 速水 : M-中才2近似直線を用いた補足エネルギー法について, 第20回土木学会学術講演会講演概要 昭和40年5月

